

# Оглавление

<b>Введение</b>	<b>2</b>
<b>1. Обзор литературы</b>	<b>5</b>
1.1. Решения задачи в общем случае . . . . .	5
1.2. Решения задачи в частных случаях . . . . .	6
1.3. Вычислительная сложность . . . . .	8
1.4. Выводы и результаты по главе . . . . .	8
<b>2. Алгоритм, основанный на пересечении грамматик</b>	<b>9</b>
2.1. Сведение к задаче достижимости для РКА . . . . .	9
2.2. Алгоритм П . . . . .	10
2.2.1. Пример . . . . .	11
2.2.2. Время работы . . . . .	11
2.3. Алгоритм П2 . . . . .	11
2.3.1. Время работы . . . . .	13
2.4. Выводы и результаты по главе . . . . .	13
<b>3. Результаты (1)</b>	<b>14</b>
3.1. Алгоритм, основанный на неориентированном транзитивном замыкании	14
3.2. Время работы . . . . .	17
3.3. Корректность для неориентированных графов и некоторых классов грамматик . . . . .	17
3.4. Корректность для двунаправленных графов и языка Дика . . . . .	17
3.5. Выводы и результаты по главе . . . . .	20
<b>4. Результаты (2)</b>	<b>21</b>
4.1. Алгоритм для языка Дика на одном типе скобок . . . . .	21
4.2. Пример . . . . .	23
4.3. Корректность алгоритма . . . . .	23
4.4. Время работы . . . . .	23
4.5. Выводы и результаты по главе . . . . .	24
<b>5. Результаты (3)</b>	<b>25</b>
5.1. Алгоритм для смешанного языка Дика . . . . .	25
5.2. Выводы и результаты по главе . . . . .	27
<b>Список литературы</b>	<b>28</b>

# Введение

## Актуальность

Графовые модели данных широко используются в различных областях науки, например, в биоинформатике [35], анализе социальных сетей [42, 10], графовых базах данных [25, 38] и разных видах статического анализа [31].

Одной из важных задач в анализе графовых моделей данных является поиск путей с заданными ограничениями. Одним из способов задавать такие ограничения являются формальные языки: если на рёбрах графа написаны метки из фиксированного алфавита, то можно искать пути, конкатенация меток на которых принадлежит фиксированному языку [6]. Например, хорошо изучена задача поиска путей с ограничениями, заданными регулярными языками [27]. В этой же работе мы остановимся на классе контекстно-свободных языков, так как они позволяют решать более широкий класс задач.

Задача поиска путей с контекстно-свободными ограничениями, или, сокращённо, CFPQ\* была впервые сформулирована в терминах запросов к графовым базам данных [38], но нашла применение и в прочих отраслях, использующих графовые модели. За более чем 30 лет, прошедших с тех пор, было предложено множество разных алгоритмов для её решения [26, 17, 33], в большинстве своём основанных на различных методах синтаксического анализа.

К сожалению, все существующие решения задачи в общем случае недостаточно эффективны для использования на практике [15]. Более того, существует условная нижняя оценка [16], согласно которой, скорее всего, достаточно быстрых решений задачи CFPQ в общем случае и не существует.

Всё вышесказанное приводит к тому, что имеет смысл разрабатывать алгоритмы для частных случаев задачи, имеющие время работы лучше, чем общее решение. Для некоторых из этих случаев уже были построены подобные решения, например для языков Дика на двудirectionalных графах [41, 9]. Проблема существующих решений в том, что они слишком Ad hoc, то есть построены специально под конкретный частный случай, а потому применённые в них подходы и идеи невозможно переиспользовать при построении решений для других частных случаев.

Данная работа нацелена на создание единого подхода к построению решений задачи для CFPQ и применение этого подхода для разработки на его основе новых решений для некоторых частных случаев задачи.

---

\*Context-Free Path Querying

## Постановка задачи

**Определение 0.1.** *Ориентированный помеченный граф (или граф с метками) — это тройка  $G = \langle V, E, \Sigma \rangle$ , где  $V$  — множество вершин,  $\Sigma$  — множество меток,  $E \subseteq V \times V \times \Sigma$  — множество рёбер.*

Неформально, это мультиграф, каждому ребру которого сопоставлена метка из алфавита  $\Sigma$ .

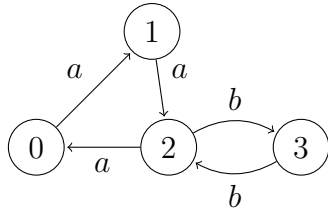


Рис. 1: Помеченный граф с  $\Sigma = \{a, b\}$

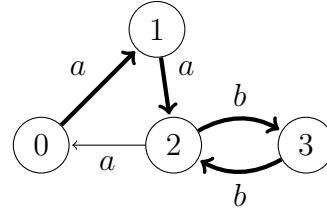


Рис. 2: На пути  $v_0 \rightarrow v_1 \rightarrow v_2 \rightarrow v_3 \rightarrow v_2$  читается слово  $aabb$

**Определение 0.2.** Будем говорить, что слово  $w$  *читается* на пути  $p$ , если конкатенация меток вдоль  $p$  образует  $w$ .

**Определение 0.3.** *Контекстно-свободная грамматика — это четвёрка  $\langle \Sigma, N, S, P \rangle$ :*

- $\Sigma$  — конечный алфавит
- $N$  — конечное множество нетерминалов
- $S \in N$  — стартовый нетерминал
- $P$  — конечное множество продукций (правил вывода), имеющих вид  $N_i \rightarrow \alpha$ , где  $N_i \in N, \alpha \in (\Sigma \cup N)^*$

**TODO:** пример

**Определение 0.4.** *Контекстно-свободный язык — язык слов, распознаваемых контекстно-свободной грамматикой.*

Для данной контекстно-свободной грамматики  $\mathcal{G}$ , соответствующий ей язык обозначается как  $L(\mathcal{G})$ .

Теперь определим саму задачу.

**Определение 0.5.** Дан ориентированный помеченный граф  $G$  и контекстно-свободная грамматика  $\mathcal{G}$  над тем же алфавитом.

*Задача поиска путей с контекстно-свободными ограничениями (CFPQ) (в реляционной семантике [18]) заключается в нахождении всех пар вершин  $u, v \in V(G)$ , таких что существует путь  $p : u \rightsquigarrow v$ , на котором читается слово  $w \in L(\mathcal{G})$ .*

**TODO:** пример

## Цель и задачи

Целью работы является получить решения для частных случаев в задаче поиска путей с контекстно-свободными ограничениями, основываясь на едином подходе.

Для её достижения решаются следующие задачи:

- Выбрать единый подход для решения задачи CFPQ
- Построить на его основе решения для следующих частных случаев:
  - Язык Дика  $\mathcal{D}_k$  и двунаправленные графы
  - Язык Дика  $\mathcal{D}_1$  (на одном типе скобок)
- Применить выбранного подхода для решение задачи достижимости для смешанный языка Дика  $\mathcal{D}_1 \odot \mathcal{D}_1$  на двунаправленных графах

**TODO:** Всё тут переписать

## Структура работы

В главе 1 определены ключевые термины и дана формальная постановка задачи.

В главе 2 приведена история развития области и анализ существующих решений для задачи CFPQ, а также обоснован выбор подхода к построению новых частичных решений.

В главе 3 представлен выбранный подход к решению задачи CFPQ (идея пересечения языков).

**TODO**

# 1. Обзор литературы

Задача поиска путей с контекстно-свободными ограничениями (она же CFPQ) была сформулирована Михалисом Яннакакисом ещё в 1990 году [38] в применении к запросам к декларативному языку Datalog [37, 8], textitно эта идея не была особо развита.

В последнее десятилетие интерес к задаче *вспыхнул с новой силой* в контексте запросов к RDF (Resource Description Framework) [29]<sup>†</sup> — графовой модели представления данных в сети, разработанной W3C (World Wide Web Consortium)<sup>‡</sup>. RDF хранит объекты (ресурсы) и утверждения об их связях (тройки «субъект — предикат — объект»). Чаще всего для работы с данными, представленными в RDF, используют язык запросов SPARQL [32]. Однако SPARQL позволяет осуществлять только запросы, представленные в виде регулярных выражений, тогда как некоторые интересные запросы (такие как *same-generation queries*<sup>§</sup> [1]) могут быть выражены только в терминах контекстно-свободных языков.

Задача также нашла широкое применение в разных видах статического анализа [31] (в этой области она более известная под именем задачи контекстно-свободной достижимости или CFL-Reachability), таких как

**TODO:** написать про виды стат анализа..

## 1.1. Решения задачи в общем случае

За более чем 30 лет было предложено множество алгоритмов для решения задачи CFPQ.

Большая часть решений реализует идеи различных алгоритмов разбора выражений (парсинга). Так, алгоритм Мельски и Репса [26] использует тот же подход, что и алгоритм Кока-Янгера-Касами [40] парсинга КС-языков: приведение грамматики к нормальной форме Хомского [12] и подсчёт динамического программирования — и имеет ту же асимптотику  $\mathcal{O}(|V|^3|N|^3)$ , где  $|V|$  — число вершин в графе,  $|N|$  — число нетерминалов входной грамматики.

Алгоритм Григорьева и Рогозиной, основан на обобщённом нисходящем синтаксическом анализе<sup>¶</sup> — GLL [34] парсинге, и работает за  $\mathcal{O}(|V|^3 \max_{v \in V} \deg^+(v))$ . Алгоритм Медейроса и др. [25] также основан на нисходящем синтаксическом анализе — LL парсинге, но имеет время работы  $\mathcal{O}(|V|^3|P|)$ , где  $|P|$  — число продукций входной грамматики.

Алгоритм Сантоса и др. [33] основан на восходящем синтаксическом анализе<sup>||</sup> —

---

<sup>†</sup>Среда описания ресурса

<sup>‡</sup>Консорциум Всемирной паутины

<sup>§</sup>Запросы поиска объектов, находящихся на одном уровне иерархии

<sup>¶</sup>Top-down parsing

<sup>||</sup>Bottom-up parsing

LR(1) парсинге [3].

Но есть и другие подходы. Например, в своей работе Азимов и Григорьев [5] сводят задачу CFPQ к транзитивному замыканию матриц (по аналогии с решением Валианта [36] задачи распознавания КС-языков). Преимущество этого алгоритма в том, что он использует операции над матрицами, которые могут быть оптимизированы с использованием GPGPU\*\*

**TODO:** Дописать

## 1.2. Решения задачи в частных случаях

**TODO:** Всё тут переписать

Понятно, что для решения практических задач далеко не всегда нужна CFPQ в общем случае. Чаще всего для каждой конкретной задачи нужна конкретная КС грамматика, а иногда ещё и понятны ограничения на тип графа.

Пользуясь этой информацией (ограничениями на тип грамматики и графа) можно конструировать частные и потому более быстрые решения. Этим уже занимались, сейчас мы выпишем всё, что на текущий момент известно:

1. Язык Дика  $\mathcal{O}(n^3k)$  [22]

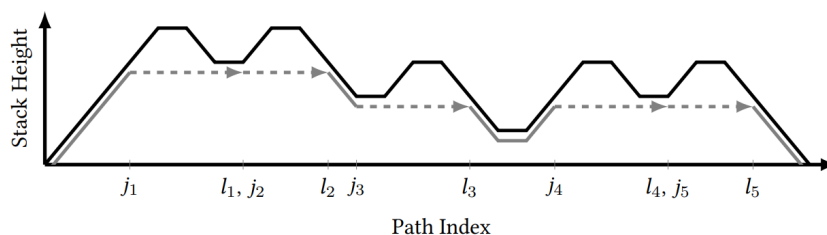
Просто применить алгоритм Репса [26] и нормально оценить время работы.

2. Язык Дика (почти)  $\mathcal{O}(n^3)$  [30]

Ещё более точный анализ алгоритм Репса [26], учитывающий, что построенный (для конкретного анализа) граф содержит константное число скобок

3. Язык Дика на одном типе скобок  $D_1 \mathcal{O}(n^\omega \log^2 n)$  [24]

Ищем bell-shaped пути: удваиваем рёбра, ищем пути с серединкой из bell-shaped пути поменьше (так  $\log n^2$  раз).



Сжимаем bell-shaped пути в  $\varepsilon$ -рёбра. Снова ищем и снова сжимаем. После каждого сжатия мы убираем все локальные максимумы. Чем больше был максимум, тем длиннее  $\varepsilon$ -ребро. Хуже всего, когда все новые рёбра длины 2. В любом

---

\*\*General-purpose computing on graphics processing units — техника использования графического процессора для неграфических целей (математических вычислений)

случае путь становится короче хотя бы в 2 раза, так что таких итераций потребуется не более  $\log n^2$  (есть лемма, что найдётся путь длины не более  $\mathcal{O}(n^2)$ ).

#### 4. Двухнаправленные графы и язык Дика

Существует несколько частных решений для задачи Диковой достижимости на двухнаправленных графах:

- Деревья [41]  
 $\mathcal{O}(n \log n \log k)$  — центроиды + внутри что-то идейное
- Общий случай [9]

Решение основано на двух фактах. Первый: в двухнаправленном графе формируются компоненты Диковой достижимости. Второй: если есть две вершины  $u, v$  и компонента Диковой достижимости  $C$ , такие что  $u \xrightarrow{\alpha_i} C$  и  $v \xrightarrow{\alpha_i} C$ , то  $u$  и  $v$  тоже лежат в одной компоненте Диковой достижимости.

Пользуясь этими фактами, алгоритм с помощью СНМ'а поддерживает компоненты Диковой достижимости и исходящие из них рёбра, чтобы быстро искать новые пары вершин, принадлежащих одной компоненте.

Итоговая асимптотика алгоритма  $\mathcal{O}(m + n\alpha(n))$ .

#### 5. Interleaved Dyck-reachability

Алгоритм за  $\mathcal{O}(n^7)$  для  $D_1 \odot D_1$  достижимости на bidirected графах [23]

*Там  $\mathcal{O}(n^7)$ , потому что авторы — дурачки, не умеют рёбра в графе посчитать  
Ну или я дурачок, там одно из двух*

*Было ещё про это (там, вроде, про один из языков сказали, что он bounded, поэтому можно пересекать с регулярным): <https://dl.acm.org/doi/pdf/10.1145/3296979.3192378> **TODO**: надо прочитать, что там пишут...*

#### 6. Граф-цепочка $\mathcal{O}(n^\omega)$ [36]

CFPQ на графе-цепочке — просто задача КС-распознавания (CF-recognition). А она решается за перемножение булевых матриц [36]

#### 7. Ациклический граф $\mathcal{O}(n^\omega)$ [38]

Ациклический граф — это почти бамбук (= цепочка), нужно только его потопсорить (и где-то ещё быть аккуратным, я не совсем помню сведение)

#### 8. Bounded-stack RSM $\mathcal{O}(n^3 k^3 / \log^2)$ [11]

RSM, который не уходит в рекурсию (т.е. есть из конца ребра  $\xrightarrow{S}$  не достижимо никакое ребро  $\xrightarrow{S}$ )

Тут применяется какое-то более хитрое (я ещё не разобралась) итеративное транзитивное замыкание (что-то с dfs'ом, а потом ещё 4 русских сверху, кажется)

#### 9. Hierarchical FSM $\mathcal{O}(n^\omega k^\omega)$ [11]

RSM, в котором боксы упорядочены (топсорт) и бокс с меньшим номером содержит рёбра только с вызовами боксов с большим номером. Задают регулярный язык, но размер FSM может быть экспоненциальным относительно размера RSM.

Алгоритм идёт в порядке, обратном топсорт, и считает транзитивное замыкание внутри бокса, чтобы провести все рёбра, которые ему соответствуют.

### 1.3. Вычислительная сложность

**TODO**

### 1.4. Выводы и результаты по главе

**TODO**



## 2. Алгоритм, основанный на пересечении грамматик

### 2.1. Сведение к задаче достижимости для РКА

В данном разделе будет подробно описан алгоритм, предложенный в [13], в модификации которого будет состоять дальнейшая работа.

Главной идеей алгоритма является следующее замечание: любой помеченный граф можно рассматривать как НКА, в котором не обозначены начальное и конечные состояния. При этом, если зафиксировать конкретные вершины  $s$  и  $t$  как стартовое и конечное состояние, то полученный автомат будет задавать язык слов  $w$ , таких что существует путь из  $s$  в  $t$ , на котором читается  $w$ .

**TODO:** картинка с примером

**Утверждение 2.1.** [20]

Автомат  $A$  (НКА/ДКА), построенный как прямое произведение автоматов  $A_1$  и  $A_2$  ( $A = A_1 \otimes A_2$ ), распознаёт язык, равный пересечению языков  $A_1$  и  $A_2$  ( $\mathcal{L}(A) = \mathcal{L}(A_1) \cap \mathcal{L}(A_2)$ )

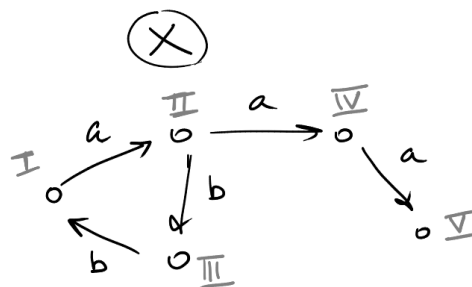
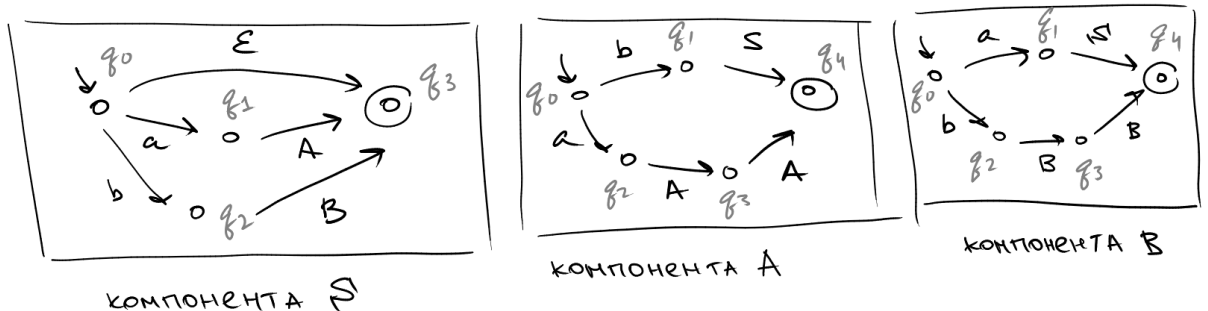
Данное утверждение остаётся верным, если один из языков задан РКА [7].

**Пример 2.1** (Построение пересечения РКА и помеченного графа (НКА)). РКА для грамматики, задающей язык слов, содержащих равное число букв  $a$  и  $b$ . Может быть задана следующими productions:

$$S \rightarrow \varepsilon \mid aA \mid bB$$

$$A \rightarrow bS \mid aAA$$

$$B \rightarrow aS \mid bBB$$



**TODO:** дорисовать пример (а потом перерисовать)

**TODO:** Доказательство корректности сведения (?)

**TODO:** сделать на него ссылки везде (не только на него)

Все алгоритмы для CFPQ, которые будут описаны в этой работе имеют следующую схему:

1. Построим прямое произведение входной грамматики  $\mathcal{R}$  и входного графа  $G$ :  
 $\mathcal{P} = \mathcal{R} \otimes G$ .
2. Решим задачу достижимости для полученного РКА  $\mathcal{P}$
3. Из вершины  $u$  в вершину  $v$  входного графа существует путь, выводимой входной грамматикой  $\mathcal{G} \Leftrightarrow$  в  $\mathcal{P}$  есть путь из стартового состояния  $(q_0, u)$  в конечное состояние  $(q_f, v)$

Рассмотрим внимательнее второй пункт — задачу достижимости для РКА. В случае обычного автомата эта задача эквивалентна задаче построения транзитивного замыкания [38]. В случае же РКА задача осложняется наличием рекурсивных вызовов, которые разрешаются итеративно. (??)

## 2.2. Алгоритм П

В листинге 1 приведён псевдокод Алгоритма П.

**TODO:** что-то написать про епс-переходы

---

### Listing 1 Алгоритм достижимости для РКА

---

```
1: function RSMREACHABILITY( $\mathcal{R}$ )
2:    $A \leftarrow$  Adjacency matrix for  $\mathcal{R}$ 
3:   while  $A$  is changing do
4:      $A' \leftarrow \text{transitiveClosure}(A)$  ▷ Построение транзитивного замыкания
5:     for  $i \in 1..k$  do
6:       for  $u \in En_i$  do
7:         for  $v \in Ex_i$  do
8:           if  $A'_{u,v} \wedge \overline{A_{u,v}}$  then
9:              $A' \leftarrow A' \cup \text{getEdges}(i, u, v)$  ▷ Добавление новых рёбер
10:     $A \rightarrow A'$ 
11:  return  $A$ 
```

---

Работа происходит над матрицей смежности  $\mathcal{R}$  — изначально туда записываются все “внутренние” (нерекурсивные) рёбра.

Далее, внешний цикл повторяется, пока матрица смежности  $A$  меняется (т.е. пока добавляются новые рёбра). На каждой итерации считается  $A'$  — транзитивное замыкание  $A$ . После этого находятся все новые пути вида  $\langle \text{стартовое состояние} \rangle \rightsquigarrow \langle \text{конечное состояние} \rangle$  — те рёбра между стартовой и конечной вершинами компоненты, которых не было в  $A$ , но которые есть в  $A'$  — и добавляются соответствующие этим путям рёбра: для нового пути  $(u \in En_i) \rightsquigarrow (v \in Ex_i)$  проводятся все рёбра, соответствующие рекурсивным вызовам  $i$ -ой компоненты с начальной вершиной  $u$  и конечной вершиной  $v$ .

### 2.2.1. Пример

**TODO**

### 2.2.2. Время работы

Время работы —  $k \cdot T(n)$ , где  $k$  — число итераций внешнего цикла,  $T(n)$  — время работы одной итерации.

Оценим  $T(n)$ . Внутренняя часть цикла состоит из двух частей: нахождения транзитивного замыкания (строка 4) и прохода по матрице для выявления новых рёбер (строки 5-9).

Задача поиска транзитивного замыкания эквивалентна задаче перемножения булевых матриц [2] и может быть решена сведением к быстрому перемножению (обычных) матриц за  $\mathcal{O}(n^\omega)$ , где  $2 < \omega < 2.273$  [4].

Проход по матрице (строки 5-7) работает за  $\mathcal{O}(n^2)$ , что доминируется временем построения транзитивного замыкания. Добавление новых рёбер (строки 8-9) отработает суммарно за  $\mathcal{O}(n^2)$  (т.к. каждое ребро будет добавлено не более одного раза).

Итого, время работы алгоритма  $\mathcal{O}(k \cdot n^\omega)$ .

## 2.3. Алгоритм П2

Можно заметить, что не очень осмысленно на каждой итерации заново считать транзитивное замыкание, достаточно искать только пути, проходящие через рёбра, добавленные непосредственно на предыдущей итерации. То есть достаточно решать задачу **инкрементального** транзитивного замыкания.

В листинге 2 приведён псевдокод Алгоритма П2 (основанного на инкрементальном ТЗ)

---

**Listing 2** Алгоритм достижимости для РКА (2)

---

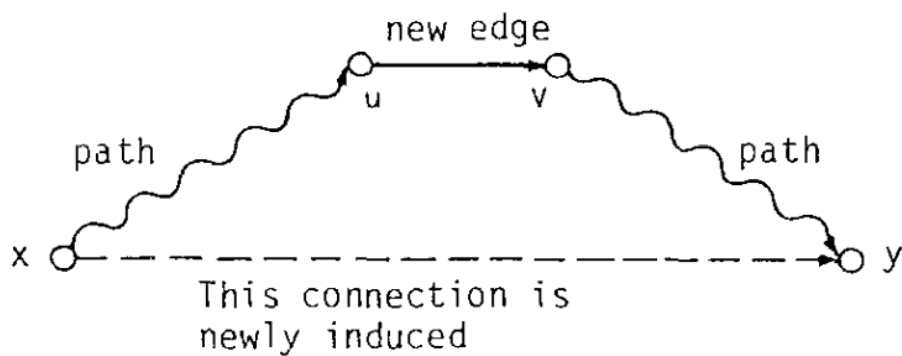
```
1: function RSMREACHABILITY2( $\mathcal{R}$ )
2:    $A \leftarrow$  Empty adjacency matrix
3:    $Q \leftarrow$  Empty Queue
4:   for  $i \in 1..k$  do
5:     for  $u \xrightarrow{c} v \in \delta_i$  do
6:        $Q.Push(\langle u, v, i \rangle)$ 
7:   while  $Q$  is not Empty do
8:      $\langle u, v, i \rangle \leftarrow Q.Pop()$ 
9:     if  $u \in En_i \wedge v \in En_i$  then ▷ Нашли новый путь
10:       $A \leftarrow A \cup getEdges(i, u, v)$ 
11:       $Q.PushAll(getEdges(i, u, v))$  ▷ Добавляем новые рёбра
12:    for  $x \in Q_i$  do
13:      if  $A_{x,u} \wedge \overline{A_{x,v}}$  then
14:        for  $y \in Q_i$  do
15:          if  $A_{v,y} \wedge \overline{A_{x,y}}$  then
16:             $A \leftarrow A \cup \langle x, y \rangle$ 
17:             $Q.Push(\langle x, y, i \rangle)$  ▷ Обновлем транзитивное замыкание
18:  return  $A$ 
```

---

В алгоритме используется (более менее) стандартная реализация инкрементального транзитивного замыкания [21]. Для этого в ходе работы алгоритма поддерживается рабочая очередь  $Q$  рёбер транзитивного замыкания, которые были найдены, но ещё не обработаны.

При обработке очередного (*потому что оно из очереди ахахах*) ребра, ищутся новые пути, которые проходя через него. А именно, пусть было добавлено ребро  $u \rightarrow v$ . Тогда далее перебирается вершина  $x$ , такая что из неё была достижима вершина  $u$  ( $x \rightsquigarrow u$ ), но не была достижима вершина  $v$  ( $x \not\rightsquigarrow v$ ). Из такой вершины  $x$  становятся достижимы все вершины  $y$ , которые были достижимы из  $v$  ( $v \rightsquigarrow y$ ).

Также, как и в Алгоритме II, если ребро ТЗ (= путь в графе) соединяет начальную и конечную вершину, в очередь добавляются также все соответствующие ему рекурсивные рёбра.



**TODO:** норм картинка

### 2.3.1. Время работы

Внешний цикл итерируется по всем рёбрам, так что работает за  $\mathcal{O}(m^*)$ . Добавление новых рёбер как и в алгоритме  $\Pi$  рассмотрит каждое ребро не более одного раза, так что тоже работает за  $\mathcal{O}(m^*)$ . Нужно только оценить работу по поддержанию транзитивного замыкания.

Цикл на строке 12 перебирает все вершины, так что отработает суммарно за  $\mathcal{O}(m^*n)$ . Внутренний цикл (строка 14) тоже перебирает все вершины, но после его выполнения будет добавлено хотя бы одно новое ребро ( $x \rightarrow v$ ), так что суммарное время работы этих циклов также можно оценить как  $\mathcal{O}(m^*n)$ .

Итого, суммарное время работы составляет  $\mathcal{O}(nm^*)$ , что в плотных графах будет равно  $\Theta(n^3)$ .

*Замечание.* Время работы итеративного транзитивного замыкания можно ускорить в  $\log n$  раз [11], воспользовавшись методом четырёх русских [28] (так как работа происходит над булевыми векторами).

## 2.4. Выводы и результаты по главе

**TODO**

### 3. Результаты (1)

Основой для получения частных решений будут модификации Алгоритмов П и П2.

#### Модифицируем Алгоритм П2

Как уже было сказано, узким местом Алгоритма П2 является построение инкрементального транзитивного замыкания, которое в общем случае нельзя (скорее всего) решить быстрее, чем за кубическое время.

Следовательно, чтобы получить более быстрый алгоритм в частном случае, нужно рассматривать такие частные случаи, для которых задачу инкрементального транзитивного замыкания можно решать быстрее.

Рассмотрим сначала всякие несложные случаи:

- Графы с ограниченной степенью

В [39] представлен алгоритм для инкрементального транзитивного замыкания на графах с ограниченной исходящей степенью. Асимптотика алгоритма:  $\mathcal{O}(dm^*)$ , где  $d$  — ограничение сверху на исходящую степень графа, а  $m^*$  — число рёбер в транзитивном замыкании.

- Планарные (?)

**TODO:** Разобраться, что там написала Александра

- Неориентированные графы

Вот тут получаем нетривиальные результаты, про них в следующем разделе

Для неориентированных графов отношение достижимости симметрично и на самом деле это отношение “принадлежать одной компоненте связности”. Поддерживать добавление рёбер и проверку связности в неориентированном графе может СНМ.

#### 3.1. Алгоритм, основанный на неориентированном транзитивном замыкании

*Я буду называть его Алгоритм НП*

В листинге 3 приведён псевдокод Алгоритма НП.

---

**Listing 3** Алгоритм достижимости для РКА, основанный на неориентированном ТЗ

---

```
1: function UNDIRECTEDRSMREACHABILITY( $\mathcal{R}$ )
2:    $A \leftarrow$  Empty adjacency matrix
3:    $Q \leftarrow$  Empty Queue
4:    $D \leftarrow$  DSU( $|\bigcup_{i=1}^k Q_i|$ )
5:   for  $i \in 1..k$  do
6:     for  $u \xrightarrow{c} v \in \delta_i$  do
7:        $Q.Push(\langle u, v, i \rangle)$ 
8:   while  $Q$  is not Empty do
9:      $\langle u, v, i \rangle \leftarrow Q.Pop()$ 
10:    if  $u \in En_i \wedge v \in En_i$  then ▷ Нашли новый путь
11:       $A \leftarrow A \cup getEdges(i, u, v)$ 
12:       $Q.PushAll(getEdges(i, u, v))$ 
13:       $D.Union(u, v)$  ▷ Добавляем новые рёбра
14:  return  $A$ 
```

---

Для реализации алгоритма используются две вспомогательные структуры данных: очередь  $Q$ , хранящая рёбра, которые были добавлены в граф, но ещё не обработаны (как и в оригинальном алгоритме П2), и СНМ  $D$ , поддерживающая компоненты связности и поиск новых путей (стартовое состояние  $\rightarrow$  конечное состояние).

Опишем подробно структуру используемого СНМ (в листинге 4 приведён псевдокод).

---

**Listing 4** Система Непересекающихся Множеств

---

```
1: Structure DisjointSets
2:   function DISJOINTSETS( $V$ )
3:     for  $v \in V$  do
4:        $P[v] \leftarrow v$  ▷ Предок
5:        $R[v] \leftarrow 0$  ▷ Ранг
6:     for  $v \in En(V)$  do
7:        $En[v] \leftarrow \{v\}$  ▷ Список стартовых вершин поддерева
8:     for  $v \in Ex(V)$  do
9:        $Ex[v] \leftarrow \{v\}$  ▷ Список конечных вершин поддерева
10:    function FIND( $v$ )
11:      if  $P[v] = v$  then return  $v$ 
12:      return  $P[v] = Find(P[v])$  ▷ Эвристика сжатие путей
13:    function UNION( $u, v$ )
14:       $u \leftarrow Find(u)$ 
15:       $v \leftarrow Find(v)$ 
16:      if  $u = v$  then return
17:      if  $R[u] > R[v]$  then
18:         $Swap(u, v)$  ▷ Ранговая эвристика
19:       $Q.PushAll(\{\langle en_u, ex_v \rangle \mid en_u \in En[u], ex_v \in Ex[v]\})$ 
20:       $Q.PushAll(\{\langle en_v, ex_u \rangle \mid en_v \in En[v], ex_u \in Ex[u]\})$  ▷ Добавление новых
21:       $рѐбер$ 
22:       $En[v] \leftarrow En[v] \cup En[u]$ 
23:       $Ex[v] \leftarrow Ex[v] \cup Ex[u]$ 
24:       $R[v] \leftarrow \max(R[v], R[u] + 1)$ 
25:       $P[u] = v$  ▷ Объединение компонент
```

---

За основу взята стандартная реализация [19] на подвешенные деревья, использующая обе эвристики: сжатие путей и ранговую.

Дополнительно в корнях хранятся списки всех начальных и конечных состояний компоненты. При добавлении ребра в операции *Join* перебираются все пары начальная/конечная вершина из двух компонент и соответствующие им рѐбра добавляются в рабочую очередь  $Q$ .

**TODO:** (подумать) можно ли добавлять сразу много рѐбер и сжимать их дфсом (как Борувка)?



### 3.2. Время работы

**Теорема 3.1.** На РКА из  $n$  состояний и  $m^*$  рёбрах в транзитивном замыкании, Алгоритм НП отработает за время  $\mathcal{O}(n + m^* \alpha(m^* + n, n))$

*Доказательство.*

**TODO:**  $m^*$  джойнов, а проходы по спискам не долгие, так как каждый раз генерируем новое ребро □

### 3.3. Корректность для неориентированных графов и некоторых классов грамматик

**TODO:** может, в мусорку этот subsection?

### 3.4. Корректность для двунаправленных графов и языка Дика

*Напоминание, что для языка Дика контекстно-свободная достижимость  $\rightarrow$  Дикова достижимость*

Для доказательства потребуется следующее вспомогательное утверждение

**Лемма 3.1.** Для вершин двунаправленных графов отношение Диковой достижимости является отношением эквивалентности.

*Доказательство.*

**TODO:** ну тут тупо □

*Замечание.* Для данного алгоритма будем использовать следующий вид грамматики для языка Дика:

$$S \rightarrow \varepsilon \mid SS \mid ({}_1S)_1 \mid \dots \mid ({}_kS)_k$$

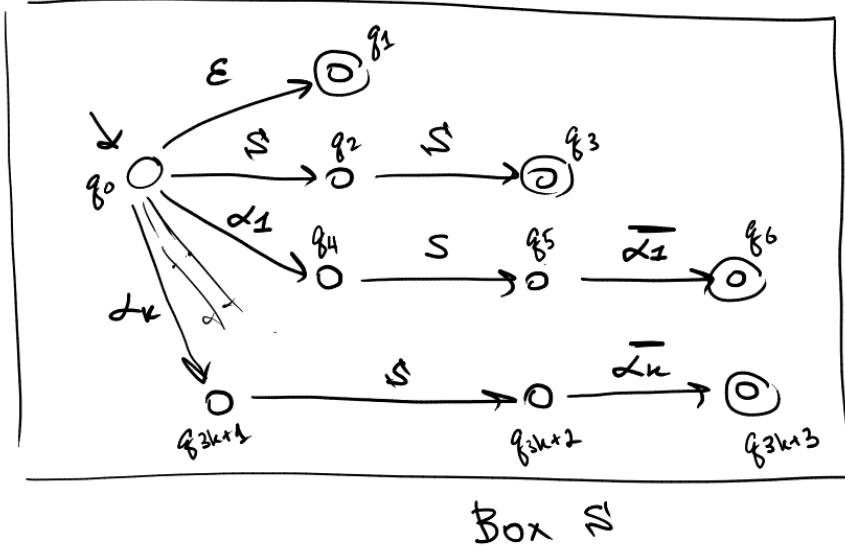


Рис. 3: РКА для языка Дика

На рисунке 3 приведена РКА для данной грамматики. Заметим, что он содержит всего одну компоненту ( $S$ ).

**TODO:** нарисовать красиво

**Теорема 3.2.** Решение для CFPQ, использующее Алгоритм НП, работает корректно на двунаправленных графах и языке Дика.

*Доказательство.* Достаточно доказать, что для любой пары состояний  $u \in E_{n_i}, v \in E_{x_i}$  существование неориентированного пути эквивалентно существованию ориентированного.

$\Leftarrow$  (ориентированный  $\Rightarrow$  неориентированный)

Очевидно, если есть ориентированный путь  $u \rightsquigarrow v$ , то ровно если убрать ориентацию этот путь никуда не денется.

$\Rightarrow$  (неориентированный  $\Rightarrow$  ориентированный)

At first, note that the Kronecker product  $G \otimes G$  forms some kind of a layered structure —  $i$ -th layer consists of vertices  $(q_i, v)$ , where  $q_i$  is  $i$ -th RSM state. Because RSM is topologically sorted (**TODO**), every edge  $(q_i, u) \rightarrow (q_j, v)$  goes forward.

We will call path *simple* if it visits every layer no more than once.

We prove the claim by induction on the  $l$  (path length).

Clearly the result is true for  $l \leq 3$ , because the only way to achieve final vertex in 1, 2 or 3 edges is by a simple vertical path (which exists in the original graph too).

Otherwise (if  $l \geq 4$ ), path is not simple.

Consider the first flex point of the path, that is the vertex  $(q_i, v)$  such that edges  $(q_j, u) \rightarrow (q_i, v)$  and  $(q_i, v) \rightarrow (q_k, w)$  are in the path and  $j, k \leq i$  (so, the path is convex at this point).

Looking at the grammar graph we can notice, that every state has indegree  $\leq 1$ . So at the flex point there are actually two same-labeled edges (that is,  $j = k$ ).

There can be three different types of labels on those edges:

- $\alpha_l$ -label

*path:*  $(q_0, u) \rightarrow (q_i, v) \rightarrow (q_0, w) \rightarrow \dots \rightarrow (q_f, z)$ .

Since  $\alpha_l$ -labeled edges could only be added on the initialization stage, graph  $\mathcal{G}$  contains edges  $u \xrightarrow{\alpha_l} v$  and  $w \xrightarrow{\alpha_l} v$ . Notice, that cause  $\mathcal{G}$  is bidirected, it also has to contain edges  $v \xrightarrow{\overline{\alpha_l}} u$  and  $v \xrightarrow{\overline{\alpha_l}} w$ .

Now we can notice, that  $w$  is Dyck-reachable (by the path  $\alpha_l \overline{\alpha_l}$ ) from  $u$ , so there is an  $S$ -labeled edge from  $u$  to  $w$ . We can also conclude, that (by induction) there is a directed path from  $(q_0, w)$  to  $(q_f, z)$  (there  $z$  is the end of the path and  $q_f$  is some final state of  $G$ ), so there is an  $S$ -labeled edge from  $w$  to  $z$ .

Using this two observation we can construct a directed path from  $u$  to  $z$ :  $u \xrightarrow{S} w \xrightarrow{S} z$ .

- $S$ -label

*path:*  $(q_0, a) \rightarrow \dots \rightarrow (q_j, u) \rightarrow (q_i, v) \rightarrow (q_j, w) \rightarrow \dots \rightarrow (q_f, z)$ .

$\mathcal{G}$  contains  $S$ -labeled edges  $u \xrightarrow{S} v$  and  $w \xrightarrow{S} v$ . Since  $\mathcal{G}$  is bidirected, then by ??  $v \xrightarrow{S} u$  and  $v \xrightarrow{S} w$ . Combining  $u \xrightarrow{S} v$  and  $v \xrightarrow{S} w$  we get that  $u \xrightarrow{S} w$ .

No we want to sort of contract this edge, joining  $u$  and  $w$  (on the  $j$ -th level). Then we can get (by induction hypothesis) the directed path from  $(q_0, a) \rightsquigarrow (q_f, z)$ . If new path does not contain joined  $uw$  vertex, then that's the answer. Otherwise we can split this vertex back, inserting between  $u$  and  $w$  the  $S$ -labeled path (that one, from  $u \xrightarrow{S} w$  edge). We can do it, because the both of these paths form correctly matched parenthesis (**TODO**: we can prove this using stack-based checking algorithm).

*Two other cases can be proved the same way, but I find it a little dishonest*

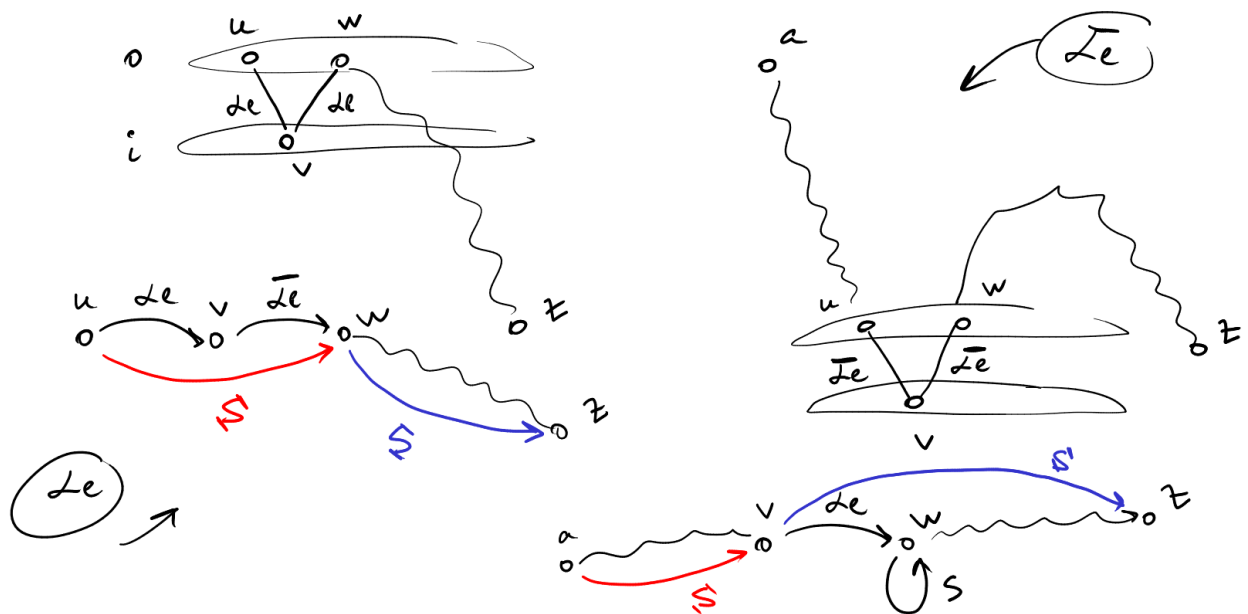
- $\overline{\alpha_l}$ -label

*path:*  $(q_0, a) \rightarrow \dots \rightarrow (q_j, u) \rightarrow (q_f, v) \rightarrow (q_j, w) \rightarrow \dots \rightarrow (q_f, z)$ .

Since  $\alpha_l$ -labeled edges could only be added on the initialization stage, graph  $\mathcal{G}$  contains edges  $u \xrightarrow{\overline{\alpha_l}} v$  and  $w \xrightarrow{\overline{\alpha_l}} v$ . Notice, that cause  $\mathcal{G}$  is bidirected, it also has to contain edges  $v \xrightarrow{\alpha_l} u$  and  $v \xrightarrow{\alpha_l} w$ .

By induction, we get that  $a \xrightarrow{S} v$ . Now we will construct a second part of the path:  $(q_0, v) \xrightarrow{\alpha_l} (q_{j-1}, w) \xrightarrow{S} (q_j, w) \rightsquigarrow (q_f, z)$  ( $(q_{j-1}, w) \xrightarrow{S} (q_j, w)$  — initial  $S$ -loop). By induction, we have directed simple version of this path, so  $v \xrightarrow{S} z$ .

Combining this two paths ( $a \xrightarrow{S} v$  and  $v \xrightarrow{S} z$ ) we get  $a \xrightarrow{SS} z \Rightarrow a \xrightarrow{S} z$  — desired path.



□

### 3.5. Выводы и результаты по главе

## 4. Результаты (2)

### 4.1. Алгоритм для языка Дика на одном типе скобок

**TODO:** написать там, где даётся определение языка Дика про пути Дика

**TODO:** для semi-dyck тоже работает, нужно это упомянуть

Для построения алгоритма воспользуемся следующим результатом:

**Лемма 4.1** (Дюлеаж и Лоран [14]). Для языка  $L$  определим  $p_L(n)^{\dagger\dagger}$  — максимальная длина кратчайшего слова в  $L \cap K$  по всем регулярным языкам  $K$ , задаваемым НКА с  $\leq n$  состояниями.

Тогда для языка Дика  $D_1$  на одном типе скобок  $p_{D_1}(n) = \mathcal{O}(n^2)^{\dagger\dagger}$

**Следствие 4.0.1.** Для любой пары вершин  $u, v \in V(G)$ , если есть Диков путь  $u \rightsquigarrow v$ , то существует и Диков путь  $u \rightsquigarrow v$ , длина которого  $\mathcal{O}(n^2)$ .

*Доказательство.* Слова, читаемые на путях  $u \rightsquigarrow v$  задаются НКА на  $n$  вершинах — графом  $G$ , в котором  $u$  и  $v$  выбраны за начальное и конечное состояния соответственно. □

*Замечание.* Пользуясь этим фактом, можно соорудить наивный алгоритм — достаточно лишь заметить, что раз длина искомого пути всегда ограничена, то можно задать такие пути с помощью ДКА: язык  $D_1$  задаётся автоматом с одним счётчиком, значение счётчика не превышает  $\mathcal{O}(n^2)$ , так что его можно закодировать в состоянии. Однако и размер такого ДКА будет  $\mathcal{O}(n^2)$ , что для данной задач слишком много.

**TODO:** дописать красиво

Ну тут мотивация простая, если строить автомат по грамматике, то часто он получается экспоненциального размера. Сейчас хотим то же в обратную сторону проверить. Ещё мотивация: чтобы хранить одну чиселку порядка  $n^2$  в считающем автомате нужно всего  $\mathcal{O}(\log n)$  бит, так что хочется в такое ограничение и уложиться

**TODO:** написать красивые слова

Хочется тут красивую подводку, но не выходит...

Хотим использовать Алгоритм П (потому что иначе субкубическое решение не получим), так что нужно, чтобы у нас было мало итераций. С обычной грамматикой  $(S \rightarrow \varepsilon \mid (S) \mid SS)$  ничего хорошего не выйдет: рассмотрим путь  $(^k)^k$ , чтобы его найти потребуется  $k$  итераций. Так что наша цель — за малое число итераций (добавления рёбер) находить такие длинные пути.

---

<sup>††</sup>Формально,  $p_L(n) = \max\{\min\{|w| : w \in L \cap K\}, K \in \text{Rat}_n(X), L \cap K \neq \emptyset\}$ , где  $\text{Rat}_n(X)$  — регулярные языки над алфавитом  $X$ , распознаваемые НКА с  $\leq n$  состояниями.

<sup>††</sup>Точная оценка —  $2n^2 + 4n$

Строим РКА, компоненты описываются в виде продукций, обсуждалось (**TODO**: пока что ещё нет), как строить одно из другого.

Строим  $2K$  (где  $K = \lceil \log(2n^2 + 4n) \rceil$ ) компонент РКА, отвечающих за сжатие вертикальных путей:  $U_i$  сжимают пути вида  $(^{2^i}$ ,  $D_i$  сжимают пути вида  $)^{2^i}$ :

$$\begin{aligned} U_0 &\rightarrow ( \\ U_1 &\rightarrow U_0 S U_0 \\ U_2 &\rightarrow U_1 S U_1 \\ &\dots \\ U_K &\rightarrow U_{K-1} S U_{K-1} \end{aligned}$$

В продукции для  $U_i$  есть  $S$  между  $U_{i-1}$  и  $U_{i-1}$  — она нужна, так как мы ищем не строго возрастающие пути, а допускаем им некоторое время “идти прямо” (получаются уже такие пути Моцкина, а не Дика, в которых  $S$  соответствуют горизонтальным рёбрам)

Продукции для  $D_i$  выглядят аналогично.

Теперь можем строить компоненту, отвечающую за, собственно, пути Дика. Продукция  $S \rightarrow (S)$  в обычной грамматике как бы “сжимала уголки”. Теперь, пользуясь  $U_i$  и  $D_i$  можем “сжимать уголки” побольше.

$$S \rightarrow \varepsilon \mid U_0 S D_0 \mid U_1 S D_1 \mid \dots \mid U_K S D_K \mid S^*$$

Продукция  $S \rightarrow S^*$  обозначает петлю на терминальной вершине в компоненте  $S$  в РКА грамматики (это так называемая, продукция транзитивного замыкания, её предназначение — да одну итерацию сжимать все пути из  $S$ -ок; в произведении с графов она образует клику на терминальных состояниях в компоненте).

При оценке асимптотики алгоритма будет важно, что все компоненты РКА имеют константный размер (число состояний), так что разобьём компоненту  $S$  на  $K$  штук:  $S_i \rightarrow U_i S D_i$ ,  $S \rightarrow (S_0 \mid S_1 \mid \dots \mid S_k)^*$  (одно стартовое/терминальное состояние, на котором весит  $K$  петель).

Собственно, алгоритм — запустить алгоритм П (**TODO**: линк) на прямом произведении входного графа и описанной выше грамматики.

**TODO**: можно сюда просто вставить маленький пример, где рассматривается один путь и показано, как он сжимается, без пересечения с грамматикой.

## 4.2. Пример

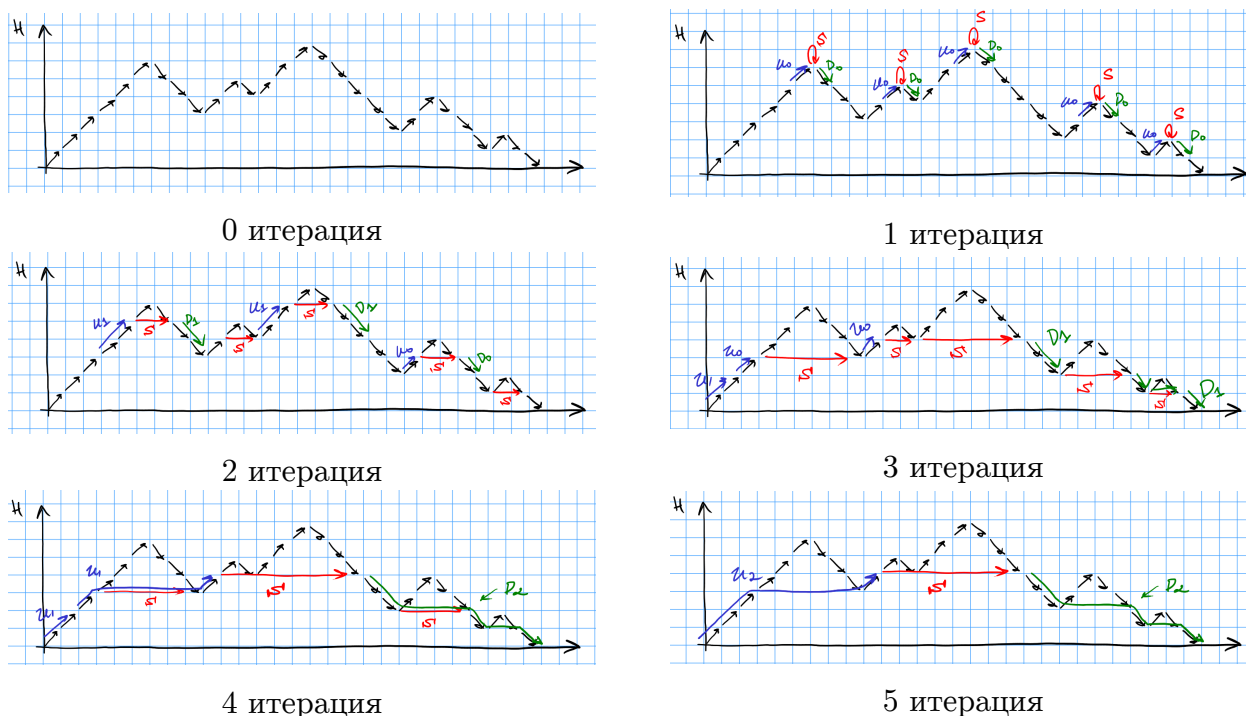


Рис. 4: Пример работы алгоритма (на конкретном пути)

### 4.3. Корректность алгоритма

# TODO

#### 4.4. Время работы

**TODO:** Я сейчас докажу  $\mathcal{O}(n^\omega \log^3 n)$ , но, кажется, можно сократить на лог (засчёт того, что у нас параллельно сжимаются и  $S$ -ки, и  $U$ -шки с  $D$ -шками)

Для доказательства времени работы нам потребуется пара вспомогательных утверждений.

**Лемма 4.2.** *После  $i$ -ой итерации алгоритма*

**Теорема 4.1.** *Время работы Алгоритма (link (?)) на языке Дика на одном типе скобок —  $\mathcal{O}(n^\omega \log^3 n)$ , где  $n$  — число вершин входного графа.*

*Доказательство.* Время работы алгоритма  $\Pi$  состоит из двух множителей: времени работы одной итерации и числа итераций.

Время работы одной итерации в алгоритме П составляло  $\mathcal{O}(N^\omega)$  (где  $N$  — число состояний РКА-произведения), т.к. на каждой итерации считалось транзитивное замыкание. Заметим, что на самом деле достаточно находить транзитивное замыкание отдельно в каждой компоненте РКА (т.к. разные компоненты вообще не

связны). Т.к. компоненты РКА грамматики константны, то размер компонент РКА-произведения —  $\mathcal{O}(n)$ . Так что суммарное время работы одной итерации составит  $\mathcal{O}(n^\omega K)$ .

Оценим теперь число итераций.

**TODO:** за лог итераций срезаются все уголки (локальные максимумы), нужно теперь их аккуратно посчитать, смотря на соседей (и минимумы)

□

*Замечание.* Этот результат не обобщается на языки Дика с большим типом скобок.

Мотивация примерно такая: во1, они сложнее (язык Дика на  $\geq 2$  типах скобок — такой же мощный как и произвольный КС-язык (теорема Хомского-Шутценбергера, тогда как язык Дика на одном типе скобок вроде как попроще. *Ещё Дик на  $\geq 2$  типах скобок генерирует full AFL (Abstract Families of Languages) (что бы это не значило)*), во2, сейчас мы играли на том, что состояние — примерно одна чиселка (ну опять-таки, язык Дика на одном типе скобок распознаётся автоматом с одним счётчиком), а для большего типа скобок нужен весь стек.

## 4.5. Выводы и результаты по главе



## 5. Результаты (3)

### 5.1. Алгоритм для смешанного языка Дика

**Определение 5.1. TODO:** нормально определение в секции с определениями

Пусть у нас есть два языка Дика  $D_i$  и  $D_j$  над разными алфавитами (например, в одном —  $(,)_i$ , а в другом  $[,]_i$ ). Тогда в смешанном языке Дика  $D_i \odot D_j$  лежат слова, такие что, если рассмотреть проекции на алфавиты  $D_i$  и  $D_j$ , то это корректные слова из  $D_i$  и  $D_j$  (*Ужасно..*)

Пример: “ $([()])[[()]]$ ” — корректное слово из  $D_1 \odot D_1$ .

*Замечание.*  $D_i \odot D_j$  — это на самом деле пересечение двух КС языков (как обычные языки Дика, но там где  $\epsilon$ , ещё можно скобки второго типа **TODO**).

Однако КС-языки не замкнуты относительно пересечения, более того, проверять непустоту пересечения двух КС-языков undecidable (**TODO**: link)

**Лемма 5.1.** [23] В двунаправленном графе, если между парой вершин  $(u, v)$  существует какой-то  $D_1 \odot D_1$  путь, то существует и такой путь, на котором в любой момент времени вложенность хотя бы одного типа скобок не превышает  $6n$ .

В доказательстве крутят циклы, в подробности я не вдавалась

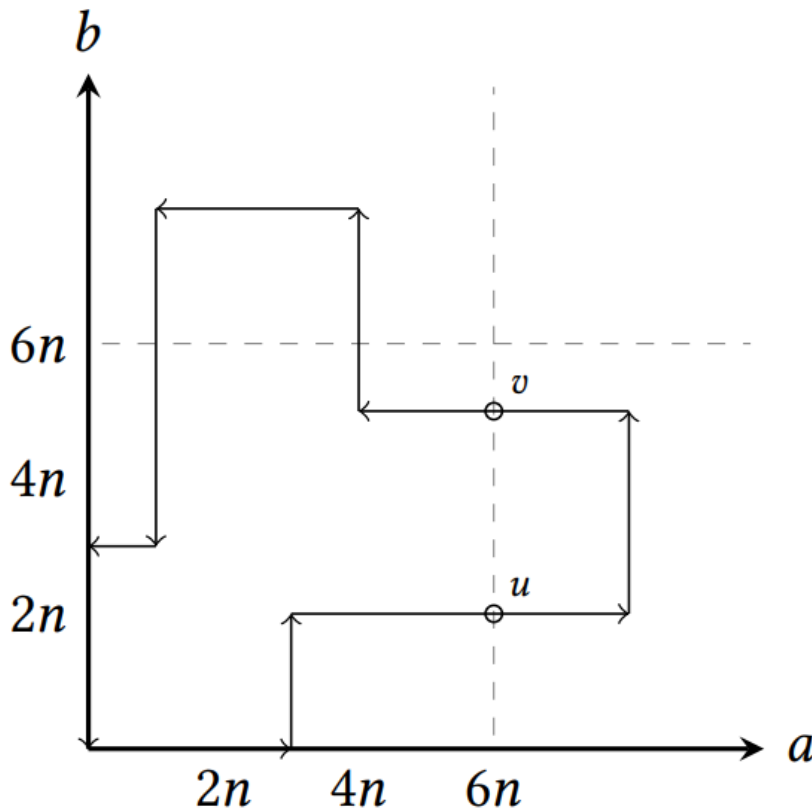


Рис. 5: Путь (кродеться)

*Замечание.* То есть путь можно искать следующего вида: он в основном ходит внутри квадрата  $[0, 6n] \times [0, 6n]$ , иногда вылезая из него, но только по одной координате.

Т.е. нужно разобрать отдельно две сущности: куски путей внутри квадрата, и куски путей, которые выходят погулять.

Вооружившись этим знанием, соорудим вот какой алгоритм:

## 1. Часть про пути в квадратике

Помним (из прошлой главы), что если хотим решать  $D_1$ -достижимость, зная, что вложенность ограничена, можем это с помощью ДКА делать.

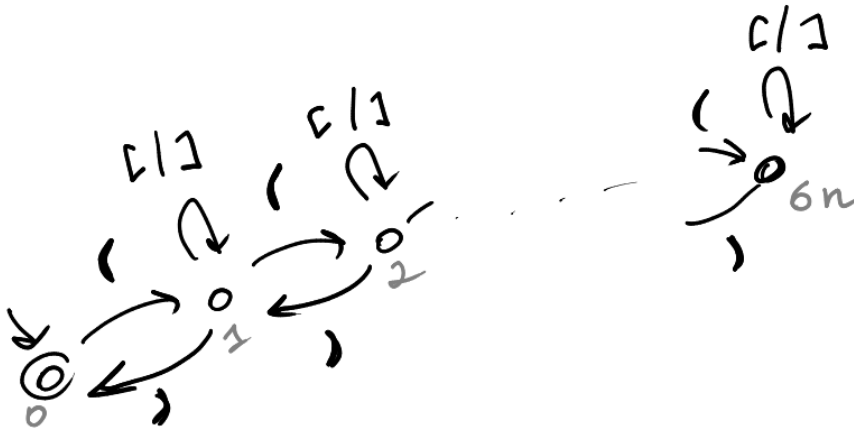


Рис. 6: ДКА для круглых скобок

Строим такие ДКА для обоих типов скобок. Т.к. и тот, и другой регулярный, то можем их прекрасно пересечь с нашим графом.

Получается такой граф троек  $(u, b, p)$  (вершина, баланс квадратных скобок, баланс круглых скобок) на  $\mathcal{O}(n^3)$  вершинах и  $\mathcal{O}(n^2m)$  рёбрах.

Ещё в нём будут  $\varepsilon$ -рёбра, найденные второй частью алгоритма. Эти рёбра имеют вид  $(u, 6n, a) \rightarrow (v, 6n, b)$ . Для всех возможных пар  $a/b$  и  $u/v$  их  $\mathcal{O}(n^4)$ .

Т.к. входной граф двунаправленный, то полученное произведение будет неориентированным (*это не совсем тривиально, но понятно*), значит достижимость на нём можно искать просто dfs'ом за  $\mathcal{O}(n^4)$ .

## 2. Часть про гуляющие пути

В какой момент пути идут гулять? Когда вложенность одной из скобок равно  $6n$ . А когда возвращаются? Тоже когда равно  $6n$ . А во все моменты между  $\geq 6n$ .

То есть хотим искать такие пути, что по одной скобке они просто сбалансированы ( $6n \rightsquigarrow 6n$ ), а по другой какие попало, но всё время не больше  $6n$  ( $a \rightsquigarrow b$ ,  $a, b \leq 6n$ ).

Опять-таки, решаем через пересечение языков. Первый — наш граф ( $L_1$ ). Вторым — просто язык Дика ( $L_2$ ) (опять-таки с оговорками про то, что скобочка другого типа — это то же, что и  $\varepsilon$ ). Третий — пути Дика, начинающиеся в балансе  $a$  и заканчивающиеся в балансе  $b$  ( $L_3$ ) (решаем для всех возможных пар балансов, чтобы рёбра провести). Давайте решать отдельно для каждого  $a$ , то есть нам нужен язык Диковых последовательностей со стартовым балансом  $a$ , таких, что их баланс не уходит в минус. Язык, опять-таки регулярный.

Дальше пересекаем. Сначала пересекаем  $L_1 \cap L_2$ . Это просто прямое произведение — граф пар  $(u, b)$  (для каждого  $a$  отдельно, снаружи всего это как бы фор по  $a$ ). Вершин в нём  $\mathcal{O}(n^2)$ , рёбер  $\mathcal{O}(nm)$ . Теперь нужно это ещё пересечь с  $L_3$ . Ну так это же просто язык Дика, а Дикову достижимость мы за  $\mathcal{O}(m^*\alpha)$  на двунаправленных графах решаем (а произведение  $L_1 \cap L_2$  как раз двунаправленное). Получаем  $\mathcal{O}(n \cdot nm^*\alpha) = \mathcal{O}(n^4\alpha)$ .

## 5.2. Выводы и результаты по главе

## Список литературы

- [1] Abiteboul Serge, Hull Richard, Vianu Victor. Foundations of Databases. — Addison-Wesley, 1995. — ISBN: 0-201-53771-0.
- [2] Aho Alfred V., Hopcroft John E. The Design and Analysis of Computer Algorithms. — 1st edition. — USA : Addison-Wesley Longman Publishing Co., Inc., 1974. — ISBN: 0201000296.
- [3] Aho Alfred V, Sethi Ravi, Ullman Jeffrey D. Compilers : Principles, Techniques, and Tools (2nd Edition). — Boston : Pearson/Addison Wesley, 2007. — ISBN: 0-321-48681-1.
- [4] Alman Josh, Williams Virginia Vassilevska. A Refined Laser Method and Faster Matrix Multiplication. — 2020. — 2010.05846.
- [5] Azimov Rustam, Grigorev Semyon. Context-Free Path Querying by Matrix Multiplication // Proceedings of the 1st ACM SIGMOD Joint International Workshop on Graph Data Management Experiences and Systems (GRADES) and Network Data Analytics (NDA). — GRADES-NDA '18. — New York, NY, USA : Association for Computing Machinery, 2018. — Access mode: <https://doi.org/10.1145/3210259.3210264>.
- [6] Barrett Chris, Jacob Riko, Marathe Madhav. Formal-Language-Constrained Path Problems // SIAM J. Comput. — 2000. — 01. — Vol. 30. — P. 809–837.
- [7] Beigel Richard, Gasarch William. A Proof that if  $L = L_1 \cap L_2$  where  $L_1$  is CFL and  $L_2$  is Regular then  $L$  is Context Free Which Does Not use PDA's.
- [8] Ceri Stefano, Gottlob Georg, Tanca Letizia. What you Always Wanted to Know About Datalog (And Never Dared to Ask). // Knowledge and Data Engineering, IEEE Transactions on. — 1989. — 04. — Vol. 1. — P. 146 – 166.
- [9] Chatterjee Krishnendu, Choudhary Bhavya, Pavlogiannis Andreas. Optimal Dyck Reachability for Data-Dependence and Alias Analysis // Proc. ACM Program. Lang. — 2017. — Dec. — Vol. 2, no. POPL. — Access mode: <https://doi.org/10.1145/3158118>.
- [10] Chaudhary Anoop, Faisal Abdul. Role of graph databases in social networks. — 2016. — 06.
- [11] Chaudhuri Swarat. Subcubic Algorithms for Recursive State Machines. — POPL '08. — New York, NY, USA : Association for Computing Machinery, 2008. — P. 159–169. — Access mode: <https://doi.org/10.1145/1328438.1328460>.

- [12] Chomsky Noam. On certain formal properties of grammars // Information and Control. — 1959. — Vol. 2, no. 2. — P. 137–167. — Access mode: <https://www.sciencedirect.com/science/article/pii/S0019995859903626>.
- [13] Context-Free Path Querying by Kronecker Product / Egor Orachev, Ilya Epelbaum, Rustam Azimov, Semyon Grigorev // Advances in Databases and Information Systems / Ed. by Jérôme Darmont, Boris Novikov, Robert Wrembel. — Cham : Springer International Publishing, 2020. — P. 49–59.
- [14] Deleage Jean-Luc, Pierre Laurent. The Rational Index of the Dyck Language  $D_1'^*$  // Theor. Comput. Sci. — 1986. — Nov. — Vol. 47, no. 3. — P. 335–343.
- [15] An Experimental Study of Context-Free Path Query Evaluation Methods / Jochem Kuijpers, George Fletcher, Nikolay Yakovets, Tobias Lindaaker. — SSDBM '19. — New York, NY, USA : Association for Computing Machinery, 2019. — P. 121–132. — Access mode: <https://doi.org/10.1145/3335783.3335791>.
- [16] Heintze N., McAllester D. On the cubic bottleneck in subtyping and flow analysis // Proceedings of Twelfth Annual IEEE Symposium on Logic in Computer Science. — 1997. — P. 342–351.
- [17] Hellings Jelle. Path Results for Context-free Grammar Queries on Graphs // CoRR. — 2015. — Vol. abs/1502.02242. — 1502.02242.
- [18] Hellings Jelle. Querying for Paths in Graphs using Context-Free Path Queries. — 2016. — 1502.02242.
- [19] Hopcroft John E., Ullman Jeffrey D. Set merging algorithms // SIAM Journal on Computing. — 1973. — Vol. 2, no. 4. — P. 294–303.
- [20] Hopcroft John E, Ullman Jeffrey D. An introduction to automata theory, languages, and computation. — Upper Saddle River, NJ : Pearson, 1979.
- [21] Ibaraki T., Katoh N. On-line computation of transitive closures of graphs // Information Processing Letters. — 1983. — Vol. 16, no. 2. — P. 95–97. — Access mode: <https://www.sciencedirect.com/science/article/pii/0020019083900339>.
- [22] Kodumal John, Aiken Alex. The Set Constraint/CFL Reachability Connection in Practice. — PLDI '04. — New York, NY, USA : Association for Computing Machinery, 2004. — P. 207–218. — Access mode: <https://doi.org/10.1145/996841.996867>.
- [23] Li Yuanbo, Zhang Qirun, Reps Thomas. On the Complexity of Bidirected Interleaved Dyck-Reachability // Proc. ACM Program. Lang. — 2021. — Jan. — Vol. 5, no. POPL. — Access mode: <https://doi.org/10.1145/3434340>.

- [24] Mathiasen Anders Alnor, Pavlogiannis Andreas. The Fine-Grained and Parallel Complexity of Andersen's Pointer Analysis // Proc. ACM Program. Lang. — 2021. — Jan. — Vol. 5, no. POPL. — Access mode: <https://doi.org/10.1145/3434315>.
- [25] Medeiros Ciro M., Musicante Martin A., Costa Umberto S. Efficient Evaluation of Context-Free Path Queries for Graph Databases // Proceedings of the 33rd Annual ACM Symposium on Applied Computing. — SAC '18. — New York, NY, USA : Association for Computing Machinery, 2018. — P. 1230–1237. — Access mode: <https://doi.org/10.1145/3167132.3167265>.
- [26] Melski David, Reps Thomas. Interconvertibility of a class of set constraints and context-free-language reachability // Theoretical Computer Science. — 2000. — Vol. 248, no. 1. — P. 29–98. — PEPM'97. Access mode: <https://www.sciencedirect.com/science/article/pii/S0304397500000499>.
- [27] Mendelzon Alberto O., Wood Peter T. Finding Regular Simple Paths in Graph Databases // SIAM Journal on Computing. — 1995. — Vol. 24, no. 6. — P. 1235–1258. — <https://doi.org/10.1137/S009753979122370X>.
- [28] On economical construction of the transitive closure of an oriented graph / Vladimir L'vovich Arlazarov, Yefim A Dinitz, MA Kronrod, IgorAleksandrovich Faradzhev // Doklady Akademii Nauk / Russian Academy of Sciences. — 1970.
- [29] RDF - Semantic Web Standards. — Accessed: 2020-05-15. Access mode: <https://www.w3.org/RDF/>.
- [30] Rehof Jakob, Fähndrich Manuel. Type-Base Flow Analysis: From Polymorphic Subtyping to CFL-Reachability // Proceedings of the 28th ACM SIGPLAN-SIGACT Symposium on Principles of Programming Languages. — POPL '01. — New York, NY, USA : Association for Computing Machinery, 2001. — P. 54–66. — Access mode: <https://doi.org/10.1145/360204.360208>.
- [31] Reps Thomas. Program analysis via graph reachability // Information and Software Technology. — 1998. — Vol. 40, no. 11. — P. 701–726. — Access mode: <https://www.sciencedirect.com/science/article/pii/S0950584998000937>.
- [32] SPARQL 1.1 overview. — Accessed: 2020-05-15. Access mode: <https://www.w3.org/TR/sparql11-query/>.
- [33] Santos Fred C., Costa Umberto S., Musicante Martin A. A Bottom-Up Algorithm for Answering Context-Free Path Queries in Graph Databases // Web Engineering / Ed. by Tommi Mikkonen, Ralf Klamma, Juan Hernández. — Cham : Springer International Publishing, 2018. — P. 225–233.

- [34] Scott Elizabeth, Johnstone Adrian. GLL Parsing // Electronic Notes in Theoretical Computer Science. — 2010. — Vol. 253, no. 7. — P. 177–189. — Proceedings of the Ninth Workshop on Language Descriptions Tools and Applications (LDTA 2009). Access mode: <https://www.sciencedirect.com/science/article/pii/S1571066110001209>.
- [35] Sevon Petteri, Eronen Lauri. Subgraph Queries by Context-free Grammars // Journal of Integrative Bioinformatics. — 2008. — Vol. 5, no. 2. — P. 157–172. — Access mode: <https://doi.org/10.1515/jib-2008-100>.
- [36] Valiant Leslie G. General context-free recognition in less than cubic time // Journal of computer and system sciences. — 1975. — Vol. 10, no. 2. — P. 308–315.
- [37] Wikipedia contributors. Datalog — Wikipedia, The Free Encyclopedia. — 2021. — [Online; accessed 6-May-2021]. Access mode: <https://en.wikipedia.org/w/index.php?title=Datalog&oldid=1015453010>.
- [38] Yannakakis Mihalis. Graph-Theoretic Methods in Database Theory // Proceedings of the Ninth ACM SIGACT-SIGMOD-SIGART Symposium on Principles of Database Systems. — PODS '90. — New York, NY, USA : Association for Computing Machinery, 1990. — P. 230–242. — Access mode: <https://doi.org/10.1145/298514.298576>.
- [39] Yellin Daniel M. Speeding up Dynamic Transitive Closure for Bounded Degree Graphs // Acta Inf. — 1993. — Apr. — Vol. 30, no. 4. — P. 369–384. — Access mode: <https://doi.org/10.1007/BF01209711>.
- [40] Younger Daniel H. Recognition and parsing of context-free languages in time  $n^3$  // Information and Control. — 1967. — Vol. 10, no. 2. — P. 189–208. — Access mode: <https://www.sciencedirect.com/science/article/pii/S001999586780007X>.
- [41] Yuan Hao, Eugster Patrick. An Efficient Algorithm for Solving the Dyck-CFL Reachability Problem on Trees // Programming Languages and Systems / Ed. by Giuseppe Castagna. — Berlin, Heidelberg : Springer Berlin Heidelberg, 2009. — P. 175–189.
- [42] Zarrinkalam Fattane, Kahani Mohsen, Paydar Samad. Using graph database for file recommendation in PAD social network // 7'th International Symposium on Telecommunications (IST'2014). — 2014. — P. 470–475.